

تاثیر L-NAME بر ضخامت و تعداد سلول‌های عضله صاف حلقوی پیلور جنین موش صحرایی

معصومه ثقه الاسلام^۱، تابنده شریعتی^۲، بهنام الدین جامعی^۳ Ph.D., M.Sc.

۱. دانشگاه آزاد اسلامی، واحد کاشمیر، گروه آناتومی
۲. دانشگاه علوم پزشکی ایران، مرکز علوم پایه، گروه آناتومی
۳. دانشگاه علوم پزشکی ایران، مرکز تحقیقات سلولی مولکولی

آدرس مکاتبه: کاشمیر، صندوق پستی: ۱۶۱، دانشگاه آزاد اسلامی، واحد کاشمیر

Email: anita49b@yahoo.com

- پنجه -

دربافت مقاله: ۱۳۹۴/۰۳/۰۱، پذیرش مقاله: ۱۳۹۴/۰۱/۰۱

* هدف: بررسی اثر ماده مهار کننده نیتریک اکساید بر ضخامت و تعداد سلول‌های عضله صاف حلقوی پیلور جنین موش صحرایی

* مواد و روش‌ها: اثرات کمبود سنتز NO به صورت استفاده از ماده مهار کننده سنتز NO، در دوران بارداری موش‌های صحرایی برای عضلاتی پیلور جنین آنها مورد بررسی قرار داده شد. به این ترتیب که محلول L-NAME در نرمال سالین به مقدار ۸۰ میلی گرم بر کیلو گرم روزانه و به موش‌های صحرایی باردار نژاد Sprague-Dawley در یک هفته وسط (گروه دو) و یک هفته آخر (گروه یک) بارداری به صورت داخل صفاقی تزریق شد. جنین‌ها روز ۲۱ بارداری از رحم بیرون آورده و معده و دوازدهه از بدن آنها خارج شد. متعاقب آن مراحل ثبوت و پاساژ بافتی و تهیه مقاطع میکروپنی، رنگ آمیزی تری کروم ماسون و پاپ نیکولا انجام شد و سپس لام‌ها در زیر میکروسکوپ نوری از لحاظ ضخامت لایه عضلاتی به وسیله عدسی مدرج خطی و تعداد سلول‌های آن به وسیله عدسی شطرنجی Eye-piece مورد بررسی قرار گرفتند. برای تجزیه و تحلیل آماری اطلاعات به دست آمده از روش آنالیز واریانس یک طرفه و آزمون چند دامنه دانکن استفاده شد.

* یافته‌ها: تجزیه و تحلیل آماری نتایج حاصل از مطالعات میکروسکوپی نشان داد که مصرف این مقدار ماده مهار کننده سنتز NO در جنین‌های گروه تجربی یک، که در هفته آخر جنینی در معرض این ماده قرار گرفته بودند، باعث بروز تغییرات معنی داری ($p < 0.01$) از جمله هیپرتروفی و هیپرپلازی عضله صاف حلقوی پیلور در مقایسه با سایر گروه‌ها شد. در حالی که در گروه تجربی دو که در یک هفته وسط در معرض همین مقدار از L-NAME قرار گرفته بودند و همچنین در گروه‌های کنترل که فقط آب مقطر دریافت کرده بودند، نتایج به دست آمده این تغییرات را نشان نداد.

* نتیجه گیری: در اثر کاهش تولید NO در سلول اثر مهاری آن بر روی رشد سلول برداشته شده و باعث تکثیر بیش از حد (هیپرپلازی) و تجمع مواد درون سلول (هیپرتروفی) می‌شود. بنابراین کمبود NO در اوخر دوران بارداری مادران می‌تواند منجر به تنگی پیلور جنین شود.

کلیدواژگان: نیتریک اکساید، ماده سنتزکننده نیتریک اکساید، ماده مهار کننده سنتز نیتریک اکساید (ان-نیترو-ال-آرژینین متبیل استر)، عضله صاف حلقوی پیلور

فصلنامه پزشکی یاخته، سال هشتم، شماره ۱، بهار ۸۵، صفحات ۱-۶

از این آنزیم موجود است: نوع ساختمانی (Constitutive) و القابی (Inducible). نوع ساختمانی در تنوونوئین عروق (۲)، میانجی گری عصبی (۷) و تجمع پلاکتی (۸) نقش دارد. در حالی که نوع القابی آن در جریان التهاب بافتی و دفاع سلولی (۳) نقش دارد. تعدادی از مهارکننده‌های آنزیم سنتزکننده NO نظیر L-NAME شناخته شده‌اند که از لحاظ ساختمانی آنالوگ L-arginine هستند و قادرند تا هر دو نوع ایزوform ساختمانی و القابی را مهار کنند (۹).

مقدمه

(L-NAME)N-nitro-L-arginine methyl ester یک ماده مهارکننده سنتز نیتریک اکساید (NO) است که با مهار کردن آنزیم سنتز کننده NO (NOS) در بدن مانع از آزاد شدن NO می‌شود (۱). NO در داخل بدن از اسید آمینه L-arginine به کمک آنزیم سنتزکننده NO ساخته می‌شود (۲) و در تعدادی از فرآیندهای فیزیولوژیک، یک تنظیم کننده مهم است (۳). در بدن دو نوع ایزوform

بارداری دریافت کردند. به موش‌های گروه کنترل دو، روزانه یک میلی‌لیتر نرمال سالین استریل به مدت ۷ روز از روز چهاردهم تا بیست بارداری تزریق شد و موش‌های گروه تجربی دو، روزانه ۸۰ میلی‌گرم بر کیلوگرم ماده L-NAME به مدت ۷ روز از روز چهاردهم الی بیست بارداری دریافت کردند.

نتایج شمارش تعداد جنین‌های به دست آمده از تمام گروه‌ها در پایان بارداری به قرار زیر است:

تعداد جنین‌های گروه کنترل یک ۳۱ عدد، تعداد جنین‌های گروه تجربی یک ۱۸ عدد، تعداد جنین‌های گروه کنترل دو ۳۰ عدد و تعداد جنین‌های گروه تجربی دو ۲۵ عدد.

در تمام گروه‌ها روز بیست و یکم (پایان دوره بارداری) موش‌های باردار با دوز Lethal اتر کشته شدند. جنین‌های استخراج شده با روش سزارین، پس از جدا کردن جفت‌ها و شستشو در محلول نرمال سالین به مدت دو ساعت در محلول فیکساتیو بوثن قرار گرفتند. سپس با برش عرضی روی شکم جنین‌ها معده و دوازدهه از بدن خارج شد و به مدت ۲۴ ساعت داخل محلول فیکساتیو بوثن قرار گرفت. پس از مرحله ثبوت بافتی، مراحل آماده‌سازی شامل آب گیری، شفاف‌سازی، قالب‌گیری بر روی نمونه‌ها انجام شد. سپس با استفاده از میکروتوم روتاری، برش‌های پنج میکرونی سریال تهیه و پس از انتقال بر روی لام‌های ژلاتینه به دو روش تری کروم ماسون و پاپ نیکولا رنگ آمیزی شد. در رنگ آمیزی اول بافت‌های همبند و عضلانی و مخاطی رنگ‌های مجزا به خود می‌گیرند و از هم قابل افتراق هستند. در رنگ آمیزی دوم هسته سلول‌ها کاملاً قابل مشاهده و شمارش می‌شوند. پس از رنگ آمیزی ارزیابی‌های مورفومنتری به کمک دو نوع عدسی مشبك و خطی انجام گرفت. با توجه به اینکه مقاطع به دست آمده از پیلور جنین‌ها به صورت سریال بروی لام‌ها قرار داده و از هر پیلور در حدود ده لام ده سریالی تهیه شد، جهت شمارش از هر پیلور پنج لام انتخاب و از هر لام پنج مقطع به صورت یک در میان شمارش شد. به این ترتیب که به کمک عدسی مشبك تعداد سلول‌های لایه عضلانی صاف حلقوی پیلور در سطح مقطع $\times 10 \times 10$ میدان دید میکروسکوپ شمارش و به کمک عدسی خطی ضخامت لایه عضلانی صاف حلقوی پیلور در واحد میکرون با بزرگنمایی عدسی $\times 40$ و $\times 10$ اندازه گیری شد.

کلیه داده‌ها ابتدا توسط نرم افزار SPSS مورد تجزیه واریانس قرار گرفتند، سپس میانگین‌ها با آزمون چند دامنه دانکن و تیست غیر وابسته در سطح احتمال ۱ درصد ($P < 0.01$) مقایسه شدند.

یافته‌ها

بررسی‌های ماقروسوکوپی بررسی شکل ظاهری

شکل ظاهری جنین‌ها بالا فاصله بعد از تولد بررسی شد و با توجه به اینکه جنین‌ها در روز بیست و یکم بارداری از رحم خارج شده بودند انتظار می‌رفت که مشخصات ظاهری یک نوزاد کامل موش صحرایی را داشته باشند. در گروه‌های کنترل یک و دو و گروه تجربی یک،

همچنین مشخص شده است در دوران بارداری میزان تولید NO افزایش می‌یابد و چون این مولکول یک واژودیلاتور مشتق از عروق است و بر روی نوتوفیل‌ها، تجمع پلاکتی و تونوسیته عروق اشرات مهمی می‌گذارد، می‌تواند در تنظیم جریان خون و تبادل اکسیژن و مواد غذایی جفت دراین دوران موثر باشد (۱۰).

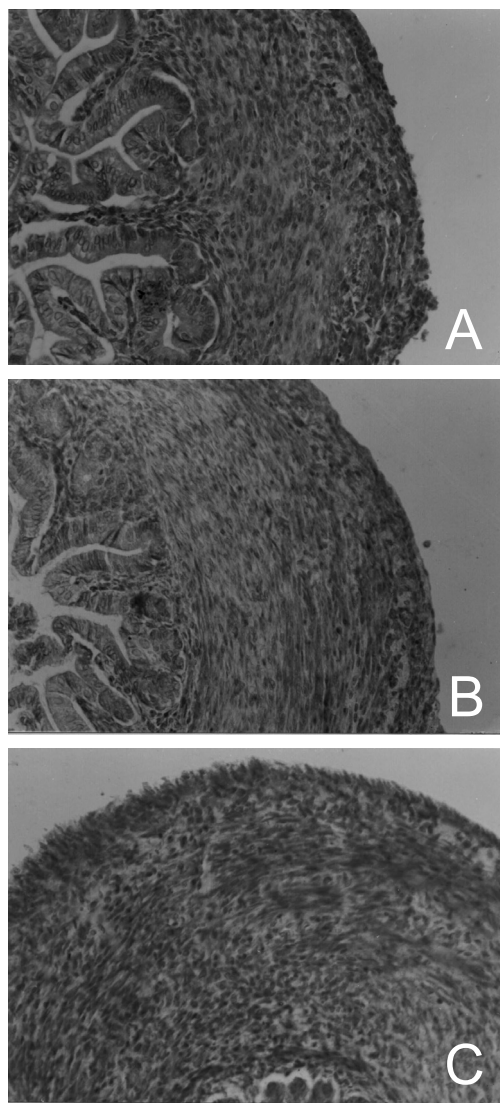
در سال‌های اخیر محققان گزارش کرده‌اند که در هفته سوم دوران بارداری موش‌های صحرایی، مهار NOS به وسیله L-NAMe منجر به کاهش رشد داخلی رحمی و تخریب اندام تحانی جنین می‌شود (۱۱، ۱۰). همین طور می‌دانیم یکی از اختلالات دوران جنینی که از دو قرن گذشته مورد توجه بوده استنوزهپروفیک پیلور کودکان (IHPS: Infantile Hypertrophic Pyloric Stenosis) است (۱۲) که لایه عضلانی حلقوی پیلور ضخیم شده و در نتیجه محتویات معده به داخل روده تخلیه نشده و برمی‌گردد (استغراج جهنده) (۱۳، ۱۲). در این تحقیق اشرات کمبود سنتز NO با استفاده از ماده مهار کننده سنتز نیتریک اکساید L-NAMe در یک هفته وسط و پایانی دوران بارداری موش‌های صحرایی بر روی عضله حلقوی پیلور جنین موش صحرایی مورد بررسی قرار گرفته است.

مواد و روش‌ها

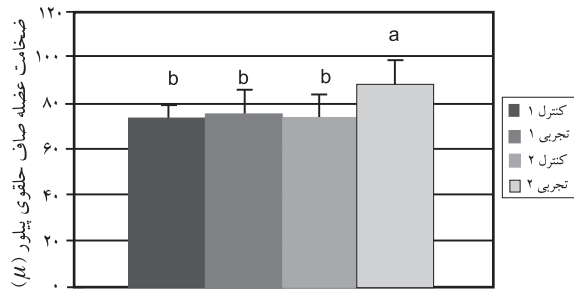
در این تحقیق از تعداد ۲۰ سر موش صحرایی ماده نژاد Sprague-Dawley استفاده شد.

موس‌های بالغ دوتا سه ماهه و دارای وزن تقریبی ۱۸۰ تا ۲۲۰ گرم بودند و در حیوان خانه در دمای ۲۳ تا ۲۷ درجه سانتی‌گراد و دوره ساعته روش‌نایابی - تاریکی نگهداری می‌شدند. رژیم غذایی آنها همانند سایر موش‌ها بود و محدودیتی اعمال نشد. موش‌های ماده با چنین شرایطی جهت انجام جفت گیری به نسبت ۲ به ۱ با موش‌های نر جفت شدند و صبح روز بعد در صورت مشاهده پلاک واژینال، آن روز به عنوان روز صفر حاملگی در نظر گرفته می‌شد. در این تحقیق ماده مصروفی (L-NAMe) از شرکت مواد شیمیایی سیگما (Sigma) تهیه شد. این ماده روزانه به مقدار ۸۰ میلی‌گرم بر کیلوگرم در یک میلی‌لیتر نرمال سالین استریل محلول و به روش داخل صفاتی تزریق شد (۱۰). علت انتخاب این دوز بر پایه تحقیقات انجام شده قبلی بر روی این ماده در ارتباط با کاربرد آن در اختلالات التهابی روده و معده و احتلالات عروقی است. نمونه گیری به صورت تصادفی انجام شد. به این ترتیب که برای هر گروه، از ۵ سر موش صحرایی ماده استفاده شد و گروه‌ها شامل: گروه کنترل یک، تجربی یک، کنترل دو و تجربی دو بودند.

به موش‌های باردار گروه کنترل یک، روزانه یک میلی‌لیتر نرمال سالین استریل به مدت ۷ روز از روز هشتم تا چهاردهم بارداری روزانه تزریق شد و موش‌های گروه تجربی یک، روزانه ۸۰ میلی‌گرم بر کیلوگرم ماده L-NAMe به مدت ۷ روز از روز هشتم تا چهاردهم



شکل ۱: مقطعی از پیلور گروه های کنترل یک و دو و تجربی یک (A,B)، مقطعی از پیلور جنین دچار تخریب اندام تحتانی در گروه تجربی دو (C).



نمودار ۱: مقایسه میانگین ضخامت عضله صاف حلقوی پیلور جنین در گروه های مورد مطالعه. در هر سنتون میانگین هایی که حداقل در یک حرف مشترک هستند فاقد تفاوت آماری بر اساس آزمون دانکن در سطح احتمال $p < 0.01$ می باشند.

جنین های به دست آمده همگی سالم بودند و هیچ گونه ناهنجاری را نشان ندادند. اما در گروه تجربی دو، حدود ۲۸ درصد از جنین ها دچار تخریب اندام تحتانی یک و یا دو طرفه بودند.

بررسی های میکروسکوپی

بررسی های کیفی

نتایج ارزیابی های کیفی مقاطع تهیه شده از پیلور جنین ها نشان می دهد که در گروه های کنترل یک و دو و تجربی یک آرایش سلولی عضله صاف حلقوی پیلور طبیعی بوده و هسته سلول ها همان طور که انتظار می رود دوکی شکل هستند (شکل ۱A، ۱B). در گروه تجربی دو، مقاطع به دست آمده از پیلور جنین هایی که ظاهر اسالم بودند و اختلالی را نشان نمی دادند همانند گروه های قبلی آرایش سلولی لایه عضلانی حلقوی پیلور طبیعی و هسته سلول ها دوکی بودند. ولی این مقاطع در جنین های دچار ناهنجاری ظاهری (تخریب اندام تحتانی) ظاهر طبیعی نداشت. آرایش و نظم سلولی لایه عضلانی حلقوی کاملاً به هم خورده بود و سلول ها متورم و به دلیل هیپرتروفی، سلول ها دارای هسته های گرد بودند (شکل ۱C).

ارزیابی های مورفومتری

ضخامت عضله صاف حلقوی پیلور جنین

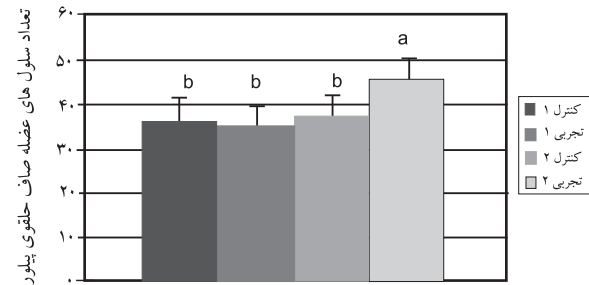
نتایج این تحقیق نشان می دهد که در گروه های مورد مطالعه ضخامت عضله صاف حلقوی پیلور جنین در گروه تجربی دو با میانگین $87/92 \pm 13$ میکرون به طور معنی داری بیشتر از سایر گروه ها است و ضخامت عضله صاف حلقوی پیلور جنین در گروه کنترل دو با میانگین $73/5 \pm 5$ میکرون بدون تفاوت معنی دار نسبت به سایر گروه ها دارای کمترین مقدار است (نمودار ۱).

تعداد سلول های عضله صاف حلقوی پیلور جنین در خصوص اندازه گیری این پارامتر باید گفت نتایج به دست آمده حاکی از آن است که در گروه های مورد مطالعه تعداد سلول های عضله صاف حلقوی پیلور جنین شمارش شده در واحد سطح نیز در گروه تجربی دو با میانگین $45/4 \pm 5$ سلول به طور معنی داری بیشتر از سایر گروه ها است و تعداد سلول های عضله صاف حلقوی پیلور جنین در گروه تجربی یک با میانگین $34/6 \pm 2$ سلول بدون تفاوت معنی دار نسبت به سایر گروه ها دارای کمترین مقدار است (نمودار ۲). همان طور که مشاهده شد جنین های گروه تجربی دو در دو گروه تقسیم بندی شدند؛ یعنی جنین های طبیعی و جنین های دچار تخریب اندام تحتانی. بنابراین با یک مقایسه آماری درون گروهی می توان نتیجه گرفت که ضخامت و تعداد سلول های عضله صاف حلقوی پیلور جنین در گروه دچار تخریب اندام تحتانی به طور معنی داری در مقایسه با گروه سالم افزایش یافته است (نمودار ۳).

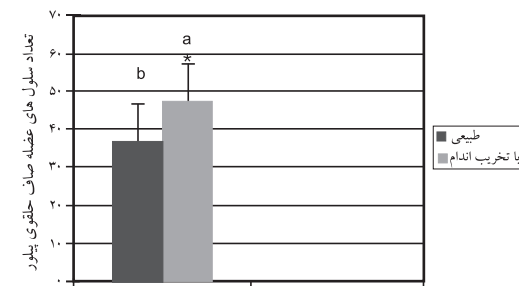
ماکروسکوپی و میکروسکوپی همراه با هم دیده می شوند. همانطور که می دانیم L-NAME فعالیت انواع NOS ساختمانی را به طور واضحی مهار می کند و می دانیم که یکی از انواع این آنزیمها (نوع ۳) که به آن NOS نوع اندوتیلیال یا eNOS می گویند در اندوتیلیوم عروق خونی واقع شده است (۱۷). بنابراین در صورت مهار فعالیت این نوع آنزیم سنتر کننده NO، نیتریک اکساید به میزان کافی در بافت تولید نمی شود و در نتیجه کار خود را که شل کردن عضله صاف عروق خونی و جلوگیری از تجمع پلاکتی است به درستی انجام نمی دهد. عوارض این کمبود تولید NO در بدن جنین می تواند به صورت کاهش رشد داخل رحمی و نکروز اندام تحتانی بروز کند (۳، ۴، ۱۰).

مهنمترین نتیجه به دست آمده از این تحقیق تغییرات بافتی عضله صاف حلقی پیلور به صورت افزایش در ضخامت و تعداد سلولهای آن در جنین های در معرض ۸۰ میلی گرم بر کیلوگرم ماده L-NAME در هفته آخر بارداری در مقایسه با سایر گروه ها است. در بخش یافته ها دیدیم که پیلور جنین هایی از این گروه (تجربی دو) تغییرات بافتی را به صورت میکروسکوپی نشان می دهند که چهار تخریب اندام تحتانی شده اند. برای توجیه آن باید گفت که ما می دانیم در مجرای معده رودهای، عضلات اسفنتکتری و غیر اسفنتکتری انقباضات تونیک خود را تحت کنترل شبکه عصبی میانتریک انجام می دهند و در این شبکه عصبی وجود NOS نوع نورونال (نوع یک) ثابت شده است (۱۸). همچنین مشخص شده است در سراسر روده موش صحرایی از معده تا انتهای کولون NOS در داخل شبکه میانتریک توزیع یافته است (۱۹) و به عنوان واسطه در شل شدن مری، معده، روده، کولون و پیلور عمل می کند. یکی دیگر از اثرات NO بر روی سلول عضله صاف جلوگیری از تکثیر آن است. به این صورت که بر روی فاز G1 سیکل سلولی اثر مهاری دارد و مانع از رشد و زیاد شدن عضله صاف می شود (۲۰). همچنین طی مطالعه ای که برروی یماران چهار استرزهیپرتروفیک پیلور انجام شده است در بررسی میکروسکوپ الکترونی سلول عضله صاف حلقی پیلور چهار هیپرتروفی شده بود و تراکم زیادی از گلیکورژن و ریتکولوم آندولپلاسمیک خشن (LER) امتصغ شده درون سلول مشاهده شد (۲۱). با توجه به این مطالب می توان استنباط کرد در اثر فقدان و یا کمبود NO در سلول، اثر مهاری آن بر روی رشد سلول برداشته شده و باعث تکثیر بیش از حد (هیپرپلازی) و تجمع مواد درون سلول (هیپرتروفی) می شود. بنابراین منطقی است که در صورت مهار سنتر NO در بدن جنین، دستگاه گوارش نیز تحت تاثیر قرار گیرد و علایمی نظری افزایش در تعداد سلول ها و ضخامت لایه عضلانی حلقی پیلور را نشان دهد.

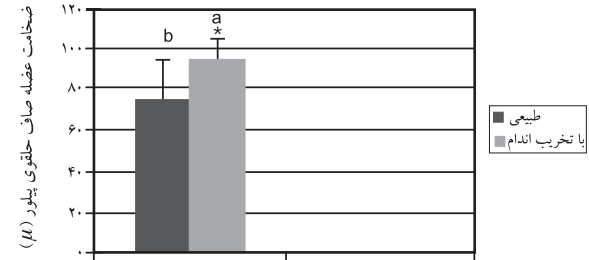
در رابطه با علت تاثیر این ماده در یک هفته آخر بارداری در مقایسه با هفته وسط بارداری باید به تکامل جنین موش صحرایی اشاره کرد. همان طور که می دانیم تا پایان روز چهاردهم بارداری ناحیه پیلور معده و اسفنتکتر پیلور در محل اتصال دئوندونم به معده قابل مشاهده است. بنابراین این ناحیه در بدن جنین کاملاً تکوین یافته است (۲۲). از طرفی



نمودار ۲: مقایسه میانگین تعداد سلولهای عضله صاف حلقی پیلور جنین در گروه های مورد مطالعه. در هر ستون میانگین هایی که حداقل در یک حرف مشترک هستند قادر تفاوت آماری بر اساس آزمون دانکن در سطح احتمال $p<0.01$ نباشند.



نمودار ۳: مقایسه میانگین تعداد سلولهای عضله صاف حلقی پیلور در جنین های طبیعی و دچار تخریب اندام تحتانی ($p<0.01$).



نمودار ۴: مقایسه میانگین ضخامت سلولهای عضله صاف حلقی پیلور در جنین های طبیعی و دچار تخریب اندام تحتانی ($p<0.01$).

بحث

در این تحقیق مشاهده شد که تجویز ماده مهارکننده تولید نیتریک اکساید (L-NMA) در هفته آخر دوران بارداری موش های صحرایی سبب ایجاد ناهنجاری اندام تحتانی به صورت نکروز بافتی اندام و اختلالات بافتی نظیر افزایش در تعداد و ضخامت سلول های لایه عضلانی حلقی پیلور در جنین آن ها می شود.

این نتایج در ارتباط با توانایی L-NMA در مهار تولید نیتریک اکساید در بدن و همچنین وابسته به زمان مصرف آن است. زیرا همان طور که مشاهده شد در صورتی که L-NMA در هفته وسط بارداری به موش ها تزریق شود این علایم در جنین بروز نمی کند ولی در صورت مصرف آن در هفته پایانی بارداری در تعدادی از جنین ها علایم

شناخته شده است (۱۱) مکانیسم فیزیولوژیک آن به خوبی شناخته نشده و هنوز محققین به دنبال پیدا کردن علل به وجود آورند آن هستند. اخیراً پوری و کوسافوفکا نشان دادند که در عضله پیلور بیماران IHPS، بیان ژن کدکننده NOS کاهش می‌یابد (۲۱، ۱۵، ۱۶).

نتیجه‌گیری

می‌توان استنباط کرد کمبود تولید NO در اعصاب داخلی لایه عضلانی حلقوی اسفنکتر پیلور می‌تواند دلیلی برای شل نشدن این اسفنکتر در کودکان دچار IHPS باشد که البته با انجام تحقیقات بیشتر برروی تغییرات اولتراسونیک‌چرال اعصاب NANC بعد از تزریق L-NAMe و Follow-up زنان باردار دچار فقر غذایی خصوصاً پروتئین از نظر درصد بروز تولد نوزادان دچار هیپرتروفی پیلور در آنها بهتر می‌توان به این نتیجه رسید.

اندام‌های تحتانی جنین نیز تا پایان هفته سوم کاملاً رشد کرده و به اندازه طبیعی خود می‌رسند و پس از این مدت در صورتی که تحت تاثیر مداوم ماده‌ای قرار گیرند، می‌توانند دست‌خوش تغییرات سلولی همچون افزایش یا کاهش در تعداد و حجم سلول‌ها شوند. در واقع باید گفت که تغییراتی نظیر هیپرتروفی و هیپرپلازی سلول و یا نکروز یک بافت پدیده‌هایی ثانویه هستند و باید شکل اولیه یک بافت کامل شده باشد تا بعداً بتواند تحت اثر یک عامل خارجی (تراتوژن) دچار این تغییرات بشود (Disruption).

در خصوص ارتباط این تحقیق با تنگی پیلور هیپرتروفیک کودکان باید گفت این بیماری یک اختلال شایع مجرای معدی-روده ای در نوزادان انسان است و علامت اصلی آن تنگ شدن در یقه خروجی مuded به علت هیپرتروفی و هیپرپلازی عضله صاف حلقوی پیلور است و علی‌رغم اینکه این اختلال بیشتر از دو قرن است که به عنوان بیماری



References

1. Porst I, Poakkari I. Nitric oxide- based possibilities for pharmacotherapy. Annals of medicine 1995; 27: 407-420
2. Palmer RMJ, Ferrige AC, Moncada S: Nitric oxide release accounts for the biological activity of endothelium – derived relaxing Factor. Nature 1987; 327: 524-526
3. Voelker CA, Miller MJS, Zhang XJ, Childress SE, Clark DA, Pierce MR: Perinatal nitric oxide synthase inhibition retards neonatal growth by inducing hypertrophic pyloric stenosis in rats. Pediatr Res 1995; 38: 768-774.
4. Pierce RL, Pierce MR, Liu H, Kadowitz PJ, Miller MJS: Limb reduction defects after prenatal inhibition of nitric oxide synthase in rats. Pediatr Res 1995; 38(6): 905-911
5. Zhang H, Snead C, Catravas JD: Nitric Oxide differentially regulates induction of type II nitric oxide synthase in rat vascular smooth muscle cells versus macrophages. Arterioscler Thromb Vasc Biol 2001; 21: 529-535
6. Wang MX, Murrell DF, Szaba C, Warren RF, Sarris M, Murrell GAC: Nitric oxide in skeletal muscle: Inhibition of Nitric Oxide Synthase Inhibits Walking Speed in Rats. Nitric Oxide Biology and Chemistry 2001; 5(3): 219-232
7. Bredt DS, Hwang PM, Synder SH: "Localization of Nitric Oxide synthase indicating a neural role for nitric oxide. Nature 1990; 347: 768-770
8. Radomski MW, Palmer RMJ, Moncada S, Characterization of the L Arginine: nitric oxide path way in human platelets. Br J Pharmacol 1990; 101: 740-752
9. Rees DD, Palmer RMJ, Schulz R, Hodson HF, Moncada S: Characterization of three inhibitors of endothelial NOS in vitro and in vivo. Br J Pharmacol 1990; 101: 740-752
10. Diket AL, Pierce MR, Mushi UK, Voelker CA, Childress SE, Greenberg SS, Zhang XJ, Clark DA, Miller MJS: Nitric Oxide inhibition causes intrauterine growth retardation and hind – limb disruptions in rats. Am J Obstet Gynecol 1994; 171: 1243-1250
11. Hays MA, Glodenbery IS: The problems of infantile pyloric stenosis. Int Abst Surg 1975; 104:105-138
12. Spicer RD: Infantile hypertrophic pyloric stenosis, a review. Br J Surg 1982; 69: 128-135
13. Abel RM, Bishop AE, Dore CJ, Spitz L, Polak JM: A Quantitative Study of the Morphological and Histochemical Changes within the Nerves and Muscle in Infantile Hypertrophic Pyloric Stenosis. J Pediatr Surg 1998; 33: 682-687
14. Ishiguchi T, Takahashi T, Iton H, Owyang C: Nitrenergic and purinergic regulation of the rat Pylorus. AM J Physiol Gastrointest Liver Physiol 2000; 279(4): G740-70
15. KusaFuka T, Puri P: Altered messenger RNA expression of the neuronal nitric oxide synthase gene in infantile hypertrophic pyloric stenosis. Pediatr Surg Int 1997; 12: 576-579
16. Takaharu O, Prem P: Smooth Muscle Cell Hypertrophy versus Hyperplasia in Infantile Hypertrophic

- Pyloric Stenosis. Pediatr Res 1999; 45(6): 853-857
17. Body SC, Hartigan RM, Shernan SK, Forkmanek V, Hurford WE: Nitric Oxide Delivery, Measurement and Clinical Application. J Cardio-thoracic and Vascular Anesthesia 1995; 99(6): 724-763
18. Brandt CT, Granham A, Tam PKH: Densities of Nitric Oxide Synthesizing Nerves in Smooth Muscles of Human gut During Fetal Development. J Pediatr Surg 1997; 32: 1314-17
19. Belai A, Schmidt HW, Hoyle CHV, Hassall CJS, Saffrey MJ: Colocalization of nitric oxide synthase and

- NADPH – diaphorase in the myenteric plexus of the rat gut. Neurosci Lett 1990; 143: 60-64
20. Rajabrata S, Clintonwebb R: Does Nitric Oxide Regulate smooth muscle cell proliferation? J Vas Res 1998; 35: 135-142
21. Ohshiro K, Puri P: Pathogenesis of infantile hypertrophic pyloric stenosis: recent progress. Pediatr Surg Int 1998; 13: 243-252
22. Kaufman M.H. The Atlas of Mouse Development. By academic press limited. 1992

